(研究資料)

ブナ・ラワン5プライ合板の強度試験

(Research materials) Strength Tests of Buna-Rawan 5-Ply Wood Kōichi Kondo

近 藤 孝 一(1)

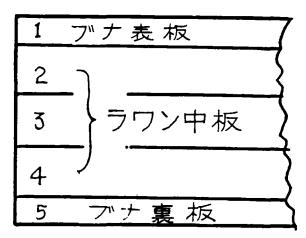
最近、合板製造技術の進歩はかなりいちじるしく、その用途もひろくなり、構造用合板としての需用も一般にたかまりつつあるようである。本試験は大鹿振興株式会社(東京・板橋)の依頼によりおこなつたものである。構造用合板に関する強度試験資料の少ない現状からみて、利用上になんらかの参考となれば幸いと思い、とりあえず発表することにした。

1. 試 料

表板および裏板はブナ単板(約 $1.3\,mm$)、中板 3 枚はラワン単板(約 $3.3\,mm$)で、構成は 5 プライ、厚さは第 1 表、第 1 図にしめしたとおりである。接着剤はメラミン尿素共縮合樹脂(添付量 $45g/ft^2$,圧 締条件は冷圧 4 時間 $10\,kg/cm^2$,熱圧 $14.5\,分\,10\,kg/cm^2\,105\sim110\,C$)。 供試合板は $90\times180\,cm\,$ の大きさのもの 5 枚(記号 A, E, J, I, K)で大鹿振興株式会社の提供によるものである。なお単板のウラ割れ程度等は不明である。

第1表 試験合板の各単板厚さ (mm)

試 板記 号	ブナ表板	5	ブナ裏板		
	1	2 .	3	4	5
A E J I K	1.3 1.4 1.4 1.2	3.4 3.2 3.3 3.1 3.5	3.4 3.1 3.4 3.2	3.2 3.5 3.4 3.2	1.3 1.3 1.3 1.3
平最最为大小	1.3 1.4 1.2	3.3 3.5 3.1	3.3 3.4 3.1	3.3 3.5 3.2	1.3 1.3 1.2

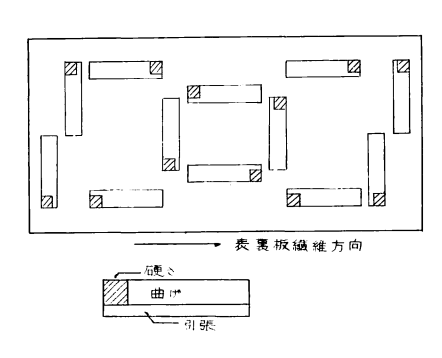


第1図 5-ply 合板構成

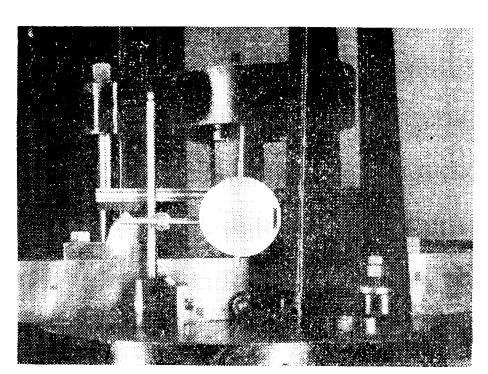
2. 試験方法

試験片は $90 \times 180~cm$ の大きさの合板から第 2 図にしめしたように引張、曲げおよび硬さ試験片を 1 組として木取つた。したがつて 12 組の試験片群のうち、6 組を表板の繊維方向に平行(\parallel , 0), 他の 6

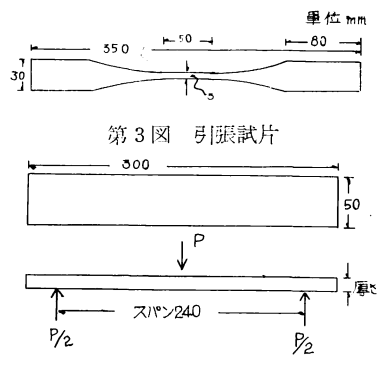
⁽¹⁾ 木材部木材材料科強度研究室員



第2図 試片木取法



第5図 曲げ試験



第4図 曲げ試片

組は表板の繊維方向に直角(上,90)にして試験をおこなった。

試験片の寸法は第3図および第4図にしめすとおりで、硬さ試験片は5×5cmの大きさのものである。表板、中板および裏板の単板厚さ測定にはツアイスの計測用ルーベ(精度0.1mm)を使用した。

なお、引張試験における仲びは湯浅式Extensometer $(10^{-3} mm)$, 曲げ試験は第 4 図および第 5 図にしめすように三点荷重方式によりおこない、曲げ撓はダイヤルゲージ($10^{-2} mm$, 30 mm ストローク)により測定

した。硬さ試験は JIS Z 1011 による。試験機は能力 $1 \, ton \, オルゼン型材料試験機で容量は <math>200 \, kg$ に切り替えて使用した。

3. 試験結果

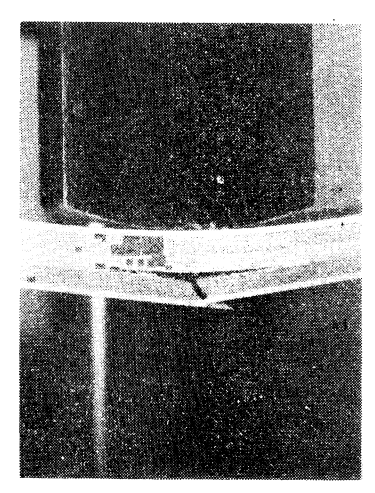
試験結果は一括して第2表にしめしたとおりで、次のことが考えられる。

i) 引張ヤング係数では E∞=1.4 E。の関係がみとめられる。

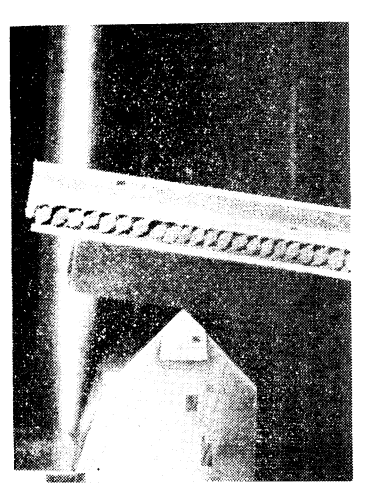
第 2 表 ブナ・ラワン5プライ合板強度試験結果

試験合板記 号	含水率	気 乾 重	表面でき	- 号[ヤング (ton/c 張試験	曲げ試		寻民	長試馬		m^2	さず試験	試片数
1.0	%	g/cm^3	kg/min ²	E ₀	$E_{90} \stackrel{E_{0}/}{\underset{E_{90} }{E_{90}}}$	E ₀ E ₉₀	E ₀ / E ₂₀	σ_0	σ90	σ ₀ / σ ₉₀	σ0	σ ₉₀ σ ₉₀	
A E J I K	12.5 12.5 12.5 12.5 12.5	0.61 0.62 0.61 0.62 0.63	2.1 2.3 2.1 2.5 2.4	67 63 78 71 61	981.47 791.42 941.21	64 59 60 65 58 63	0.93 1.08 1.09		460 550 480	1.09 1.08 1.33 1.19 1.28	635 565	485 0.75 500 0.79 595 0.94 515 0.91 540 0.90	12 12 12 12 12
平均值 最大值 最小值	12.5 16.5 10.5	0.62 0.70 0.52	2.3 2.9 1.6	68 85 53	135	62 63 80 86 51 55	1.03	410 650 265	485 780 1 <i>2</i> 0	1.18	620 735 495	525.0.86 675 430	

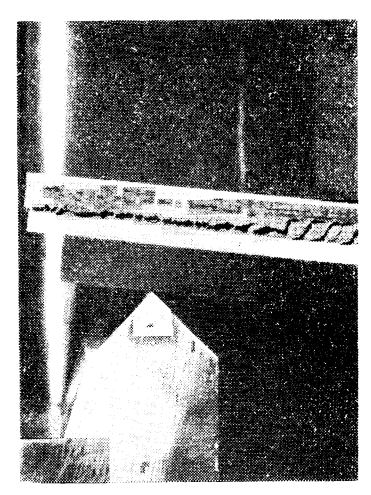
 $E_0 = \| : 表板の繊維方向に平行な荷重を加えた引張, (スパン)長さ方向と一致した曲げ試験。 <math>E_{00} = \bot : 表板の繊維方向に直角な荷重を加えた引張, (スパン)長さ方向と直角をなす曲げ試験。$



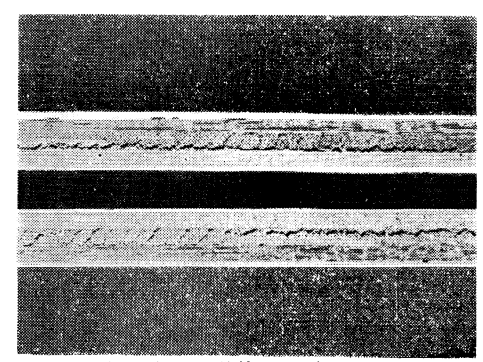
第6図 曲げ破壊形態 (Ⅱ) (通常の引張破損を呈している)



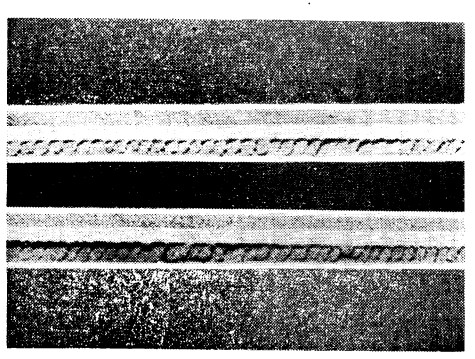
第7図 曲げ破壊形態 (土) (セン断破損による)



第8図 曲げ破壊形態 (॥) (セン断破損:ウラワレの影響とみられる)



第9図 曲げ試験片破壊形態 (上) (セン断破損:上は引張側,下は圧縮側)



第 10 図 曲げ試験片破壊形態 (Ⅱ)

- ii) 引張強さでも σομ = 1.2 σο でヤング係数とほぼ同様な傾向をしめしている。
- iii) 曲げヤング係数は引張ヤング係数のような傾向はなく,おおむね E₀≒E₀₀ となつている。
- iv) 曲げ破壊強さでは $\sigma_{90} = 0.9 \, \sigma_0$ の関係がみられ、引張強さにおけるばあいとは反対の傾向がみとめられる。

曲げ破損形態については第6図のような通常の引張破損形態をしめすものと、第7図および第8図にみられるような剪断破損による破損形態が観察された。第7図および第9図は表板の繊維方向が直角(上)の場合であり、試験片30枚のうち14枚の約50%までがセン断破損形態をしめしている。

第8図および第10図にみられるものは表板の繊維方向が平行(II)の場合で試験片30枚のうちでセン断破損をしめしたものは3枚であつたが、その破損は引張側の第4層に生じている。第8図にみられるようにかなり複雑なものもあらわれている。このような破損形態の発生原因にウラ割れ等の欠点が考えられる。

付 表 1

	<u></u>		$\frac{\mathrm{E}}{(ton/cm^2)}$		(kg/c)			
試験合板	u	Ru	Ht	Ten.	Bend.	Ten.	Bend.	曲 げ 破壊形態
p. No.	%	g/cm³	kg/mm²	॥(工)	II (<u>T</u>)	॥(工)	॥(上)	
A 1	12.8	0.58	2.5	(76.9)	(57.0)	(318)	(501)	С
2	12.5	0.57	1.6	(81.1)	(56.1)	(433)	(431)	80080080088
3	12.8	0.59	2.3	66.2	55.9	436	613	C
4	12.3	0.55	1.9	65.2	52.6	485	600	С
5	13.0	0.62	1.6	(135.0)	(85.7)	(780)	(522)	S
6	12.3	0.64	2.2	70.7	54.6	564	732	C
7	12.4	0.62	2.2	66.2	63.3	387	678	C
8	11.6	0.64	2.2	(102.8)	(64.4)	(396)	(484)	S
9	11.7	0.64	2.6	70.0	66.6	542	650	C
10	12.3	0.61	2.2	61.5	62.5	408	624	C
11	12.0	0.65	2.3	(97.9)	(60.6)	(564)	(487)	S
12	12.7	0.64	2.1	(93.6)	(61.5)	(599)	(484)	S
平均值	12.4	0.61	2.1	66.6 (97.9)	59.3 (64.2)	470 (515)	650 (485)	

付 表 2

1	i i			E (ton/e		(kg/c)	:m ²)	
試験合板	u	Ru	Ht	Ten.	Bend.	Ten.	Bend.	曲 げ 破壊形態
p. No.	%	g/cm^3	kg/mm^2	П(Т)	॥(丄)	॥(上)	॥(丄)	
E 1 2 3 4 5 6 7 7 8 9 10 11 12 平均値	12.7 12.2 12.8 12.4 12.4 12.7 12.6 13.4 12.8 12.5 10.6 12.9	0.61 0.57 0.64 0.67 0.65 0.63 0.63 0.56 0.62 0.58 0.60	2.4 2.6 2.6 2.3 2.4 2.5 2.1 2.1 2.1 2.3 2.3	(103.0) (80.2) 62.8 61.5 (71.9) 62.2 61.6 (101.5) 60.8 66.6 (31.5) (84.7) 62.6 (78.8)	(61.5) (60.1) 67.2 62.0 (55.4) 70.8 66.6 (67.0) 60.0 54.8 (56.8) (55.3) 63.5 (59.3)	(709) (510) 428 416 (241) 358 485 (627) 390 468 (121) (545) 424 (458)	(546) (516) 670 606 (458) 737 649 (497) 623 524 (478) (520)	CSCCSCCSSCCS

付 表 3

1		_		E (ton/c		(kg/c	!	
試験合板	u	Ru	Ht	Ten.	Bend.	Ten.	Bend.	曲 げ 破壊形態
p. No.	%	g/cm³	kg/mm²	॥(上)	॥(上)	॥(上)	॥(上)	
J 1 2 3 4 5 6 7 8 9 10 11 12 1	12.7 12.7 12.1 11.6 11.9 12.4 12.5 12.1 16.4 13.8 12.5 12.2	0.61 0.60 0.57 0.60 0.57 0.60 0.62 0.61 0.60 0.59 0.64 0.66	2.1 2.3 2.1 1.8 2.1 2.3 2.0 2.1 2.3 2.1 2.3 1.8	(89.9) (104.3) 84.0 72.0 (86.4) 84.8 75.8 (100.3) 74.6 74.4 (94.1) (89.0)	(64.2) (67.4) 56.9 59.7 (64.9) 62.4 51.1 (68.3) 60.2 69.5 (65.0) (58.9)	(600) (738) 295 265 (486) 649 291 (639) 407 570 (526) (303)	(588) (630) 493 673 (594) 640 737 (673) 638 624 (527) (555)	00800000000

付 表 4

		-		(ton/		(kg/c		
	u	Ru	Ht	Ten.	Bend.	Ten.	Bend.	曲 け 破壊形態
p. No.	%	g/cm^3	kg/mm^2	(工)	(土)	॥(工)	॥(上)	
I 1	12.6	0.61	2.5	(80.0)	(60.0)	(430)	(524)	С
2	13.4	0.58	2.5	(67.2)	(55.8)	(315)	(433)	S
3	12.3	0.59	2.5	66.6	64.2	415	531	C
4	12.0	0.55	2.5	64.6	51.8	485	566	C
5	12.4	0.69	2.7	(92.5)	(62.1)	(710)	(506)	S
6	12.2	0.66	2.4	75.2	66.7	340	641	C
7	12.5	0.66	2.3	65.4	62.2	371	558	C
8	12.5	0.63	2.6	(95.4)	(75.7)	(466)	(584)	S
9	12.4	0.70	2.8	81.9	55.8	476	581	C
10	11.8	0.67	2.6	69.7	48.2	341	503	C
11	11.5	0.57	2.7	(97.7)	(50.2)	(524)	(444)	
12	12.1	0.56	2.3	(84.8)	(66.9)	(447)	(594)	S
平均值	12.3	0.62	2.5	70.6 (86.2)	58.1 (63.4)	404 (482)	567 (514)	

付 表 5

				E (ton/c		(kg/a)		
験合板:	u	Ru	Ht	Ten.	Bend.	Ten.	Bend.	曲 げ ・破壊形態
No.	%	g/cm³	kg/mm^2	II (<u>T</u>)	II (<u>T</u>)	II (T)	(土)	
. 1	12.6	0.58	2.4	(77.9)	(58.9)	(302)	(506)	S
2	13.6	0.53	2.3	(82.0)	(57.3)	(509)	(484)	S S C
3	12.9	0.66	2.2	72.1	71.2	519	563	C
4	13.1	0.52	2.1	52.8	80.0	387	584	С
5	12.6	0.67	2.4	(125.7)	(83.6)	(445)	(560)	C
6	13.0	0.70	2.2	60.8	62.3	328	624	С
7	12.4	0.65	2.4	67.7	74.2	276	603	С
8	12.7	0.66	2.9	(106.7)	(82.6)	(432)	(555)	0000088
9	12.3	0.65	2.5	56.1	67.9	332	591	С
10	12.5	0.65	2.6	54.6	66.9	253	658	C
11	12.8	0.63	2.2	(71.2)	(64.0)	(314)	(574)	S
12	12.2	0.63	2.4	(91.6)	(60.3)	(596)	(565)	S
均值	12.7	0.63	2.4	60.7 (92.3)	70.5 (67.8)	349 (433)	602 (540)	

付表 試験実測値